

บทที่ 3

ผลการทดลองและวิจารณ์

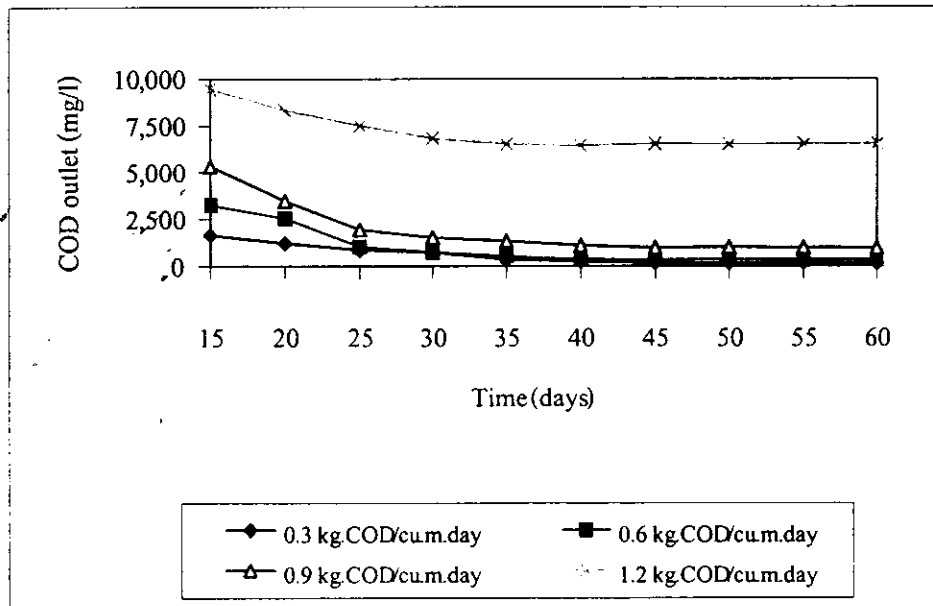
3.1 ปัจจัยที่มีผลต่อประสิทธิภาพของถังปฏิกรณ์แบบกรองไร้อากาศ

3.1.1 อัตราภาระบรรทุกสารอินทรีย์ (Organic loading rate, OLR)

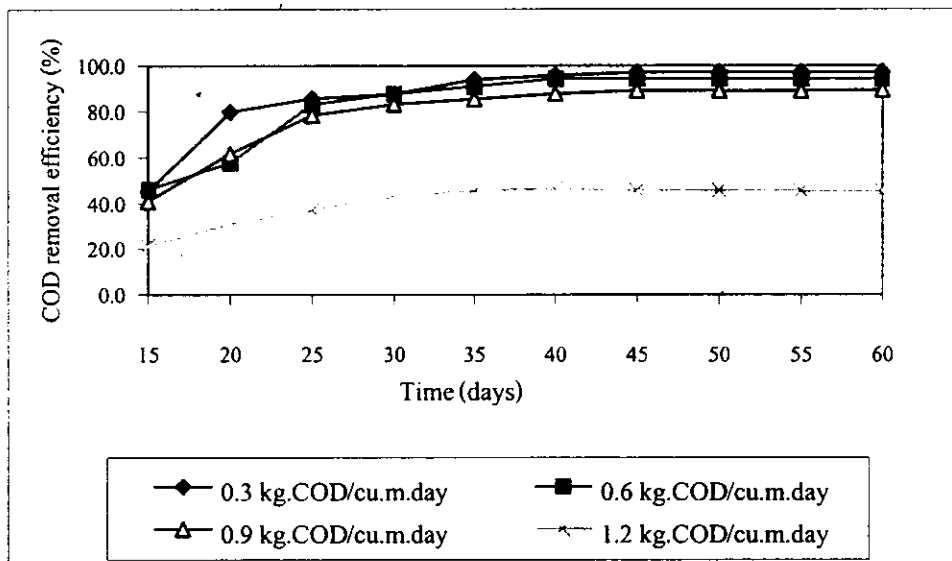
จากการทดลอง ประสิทธิภาพการกำจัดซีโอดีลดลง เมื่ออัตราภาระบรรทุกสารอินทรีย์เพิ่มขึ้น โดยพบว่า ที่ระยะเวลาพักเก็บ 10 วัน ประสิทธิภาพการกำจัดซีโอดีเฉลี่ยในน้ำเสียเท่ากับ 94.3 89.2 และ 44.7 เปอร์เซ็นต์ ที่อัตราภาระบรรทุกสารอินทรีย์ที่ 0.3 0.6 0.9 และ 1.2 กก. ซีโอดี/ลบ.ม.-วัน ตามลำดับดัง แสดงในตารางที่ 3.1

ตารางที่ 3.1 ผลการทดลองเฉลี่ยภายใต้สภาวะคงตัวที่อัตราภาระบรรทุกสารอินทรีย์ต่างๆ

พารามิเตอร์	อัตราภาระบรรทุกสารอินทรีย์ (กก.ซีโอดี/ลบ.ม.-วัน)				
	0.3	0.6	0.9	1.2	ค่าเบี่ยงเบนมาตรฐาน
ความเข้มข้นซีโอดี (มก./ล.)	172	342	975	6,635	4-11
ประสิทธิภาพการกำจัดซีโอดี (%)	94.3	94.3	89.2	44.7	0.1-0.2
ของแข็งแขวนลอยระเหยง่าย (มก./ล.)	1,590	1,645	1,845	2,245	3-28
กรดไขมันระเหยง่าย (มก./ล. ในรูป CH ₃ COOH)	606	630	1,619	2,084	29-43
สภาพต่าง (มก./ล. ในรูป CaCO ₃)	1,896	2,088	2,249	2,468	51-82
ความเป็นกรด-ด่าง	8.21	8.09	7.61	7.31	0.01-0.08
อัตราส่วนกรดไขมันระเหยง่ายต่อสภาพต่าง (-)	0.32	0.30	0.72	0.84	0.02-0.04
ความหนาฟิล์มชีวะ (ไมครอน)	67.14	68.10	51.43	30.47	5.06-8.49

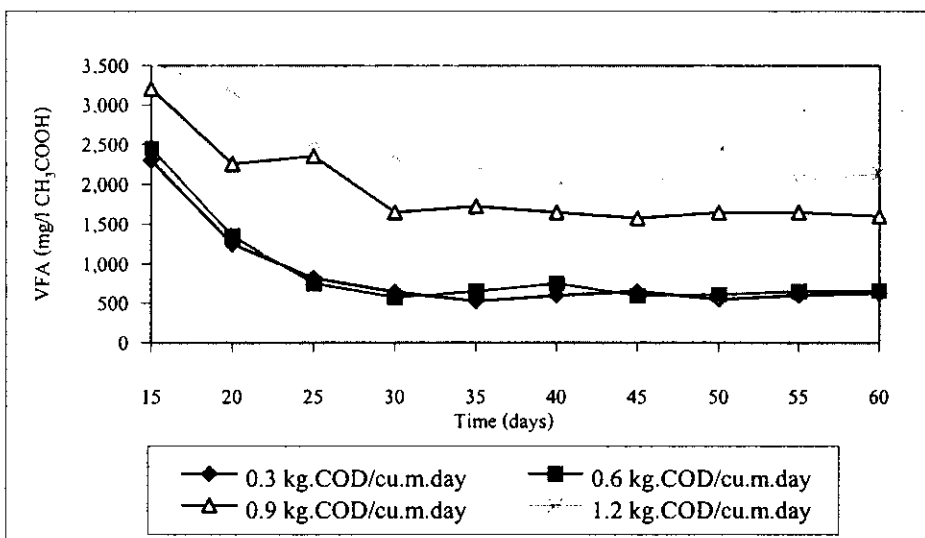


ภาพประกอบ 3.1 ความเข้มข้นซีโอดีทางออกของถังปฏิกรณ์แบบกรองไร้อากาศที่ระยะเวลากักเก็บ 10 วัน

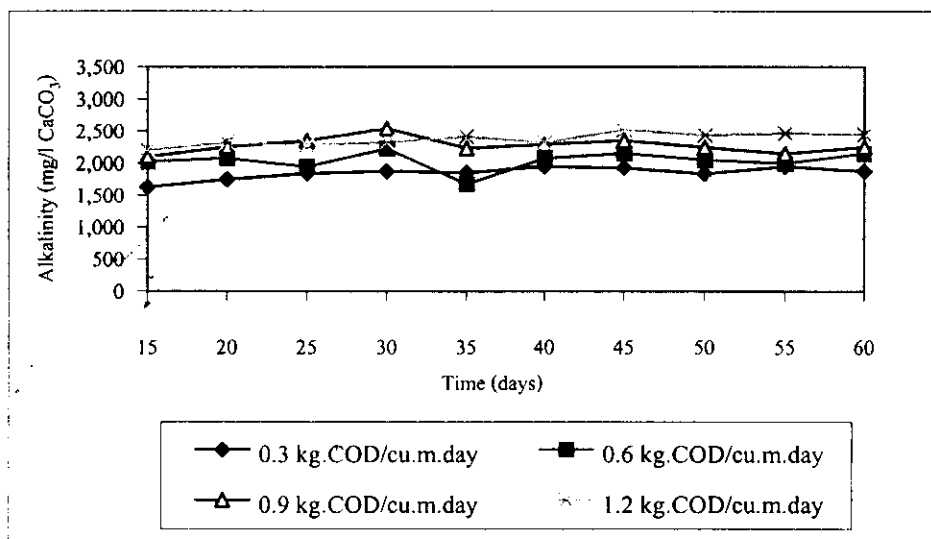


ภาพประกอบ 3.2 ประสิทธิภาพการกำจัดซีโอดี ของถังปฏิกรณ์แบบกรองไร้อากาศที่ระยะเวลากักเก็บ 10 วัน

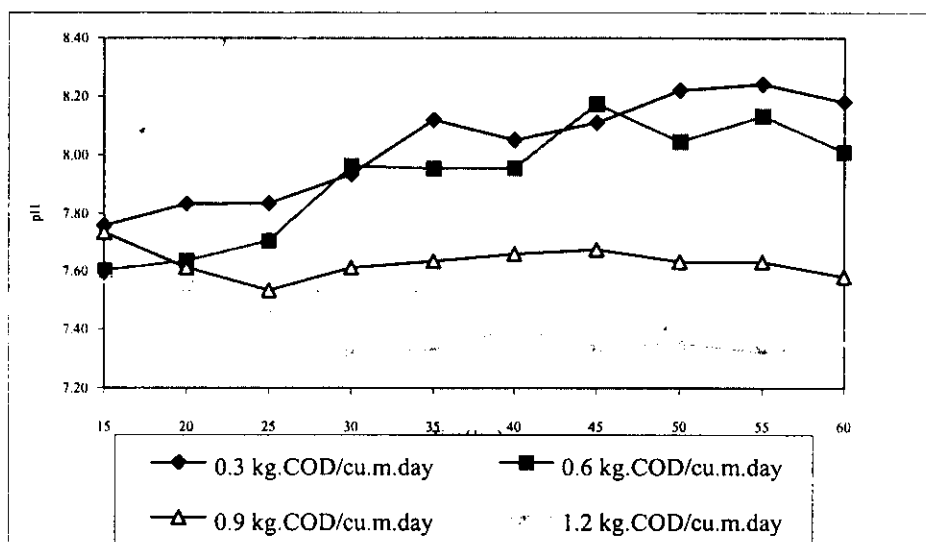
จากภาพประกอบ 3.1 และ 3.2 อัตราภาระบรรทุกสารอินทรีย์ 0.3 และ 0.6 กก.ซีไอดี/ลบ.ม.-วัน จะให้ประสิทธิภาพการกำจัดซีไอดีสูงกว่าที่ 0.9 และ 1.2 กก.ซีไอดี/ลบ.ม.-วัน ตามลำดับ ซึ่งสอดคล้องกับผลการทดลองของ อภิสสิทธิ์ และ ขจรศักดิ์ (1997) ได้ศึกษาประสิทธิภาพการบำบัดน้ำเสียสังเคราะห์ในถังปฏิกรณ์แบบกรองไร้อากาศ พบว่า ที่อัตราภาระบรรทุก 2 กก.ซีไอดี/ลบ.ม.-วัน ให้ประสิทธิภาพการกำจัดซีไอดีสูงกว่าที่อัตราภาระบรรทุก 2 2.4 3 4 และ 9 กก.ซีไอดี/ลบ.ม.-วัน เนื่องจากเมื่ออัตราภาระบรรทุกสารอินทรีย์เพิ่มขึ้น จุลินทรีย์กลุ่มที่สร้างมีเทนถูกยับยั้ง จึงทำให้เกิดการสะสมของกรดไขมันระเหยง่าย (Chua et al., 1997) ทำให้กรดไขมันระเหยง่ายเพิ่มขึ้นเท่ากับ 606 630 1,619 และ 2,084 มก./ล. ตามลำดับ ดังแสดงภาพประกอบ 3.3 ในการย่อยสลายกรดไขมันระเหยง่าย จะเกิดก๊าซคาร์บอนไดออกไซด์ขึ้น เมื่อก๊าซนี้ทำปฏิกิริยากับน้ำจะเกิดเป็นกรดคาร์บอนิก ซึ่งไม่เสถียร จากนั้นจะแตกตัวให้ไฮโดรเจนและไบคาร์บอเนตไอออน ทำให้สภาพต่างเฉื่อยเพิ่มขึ้นดังนี้ 1,896 2,088 2,249 และ 2,468 มก./ล.ตามลำดับ ดังภาพประกอบ 3.4 สภาพต่างจะทำหน้าที่รักษาสมดุลของระบบ ซึ่งเปรียบเสมือนเป็นบัฟเฟอร์ของระบบ มีผลทำให้ค่าความเป็นกรด-ต่างเฉื่อยมีค่าอยู่ในช่วงเป็นกลาง คือที่ค่าความเป็นกรด-ต่าง 8.2 8.1 7.6 และ 7.3 ตามลำดับ ดังภาพประกอบ 3.5 และ 3.6



ภาพประกอบ 3.3 ปริมาณกรดไขมันระเหยง่ายของถังปฏิกรณ์แบบกรองไร้อากาศ ที่ระยะเวลาเก็บ 10 วัน

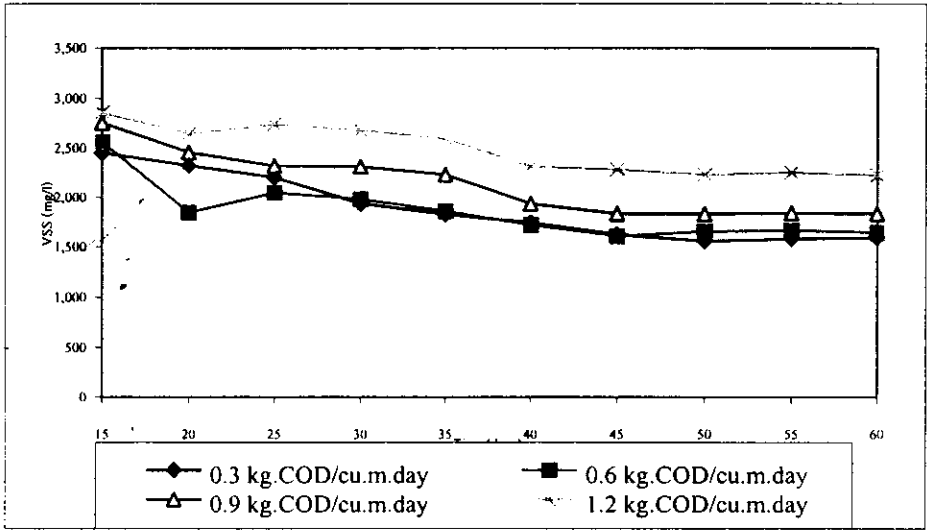


ภาพประกอบ 3.4 สภาพต่างของถังปฏิกรณ์แบบกรองไร้อากาศที่ระยะเวลาเก็บ 10 วัน



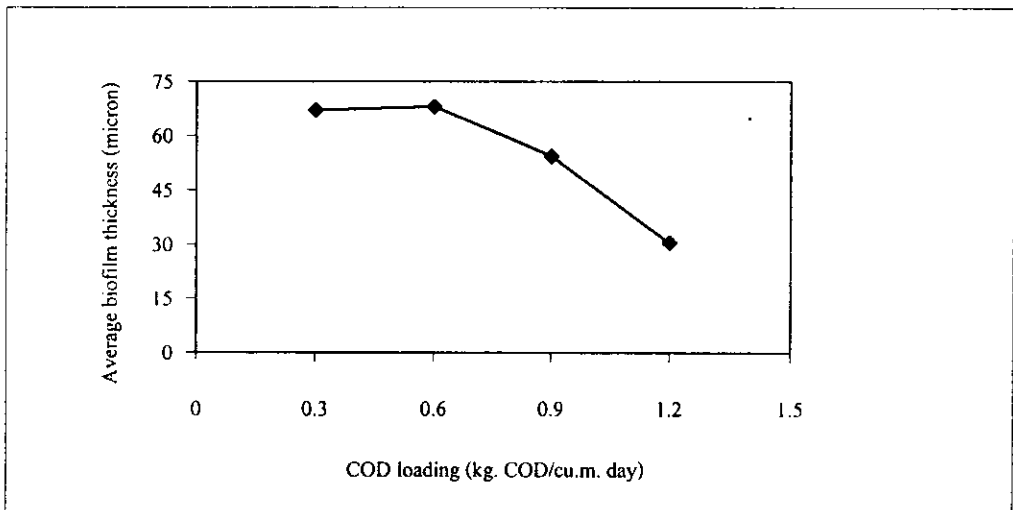
ภาพประกอบ 3.5 ความเป็นกรด-ด่างของถังปฏิกรณ์แบบกรองไร้อากาศที่ระยะเวลาเก็บ 10 วัน

จากภาพประกอบ 3.6 ปริมาณของแข็งแขวนลอยระเหยง่ายในน้ำทิ้งที่ออกจากระบบสูงขึ้นมีค่าเพิ่มขึ้นเมื่ออัตราภาระบรรทุกสารอินทรีย์สูงขึ้น ซึ่งมีค่าเฉลี่ยดังนี้ 1,590 1,645 1,845 และ 2,246 มก./ล.ตามลำดับ เนื่องจากระบบเริ่มขาดเสถียรภาพ กล่าวคืออัตราส่วนระหว่างกรดไขมัน

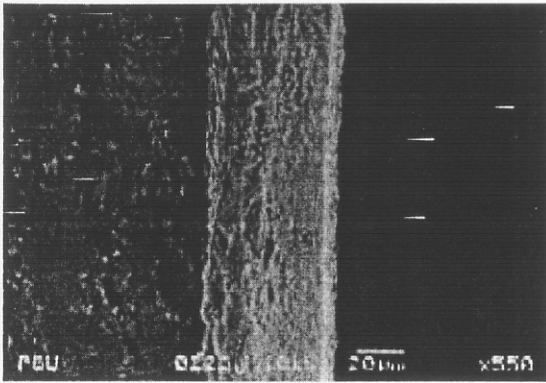


ภาพประกอบ 3.6 ปริมาณของแข็งแขวนลอยระเหยง่ายของถังปฏิกรณ์แบบกรองไร้อากาศ ที่ระยะเวลาพักเก็บ 10 วัน

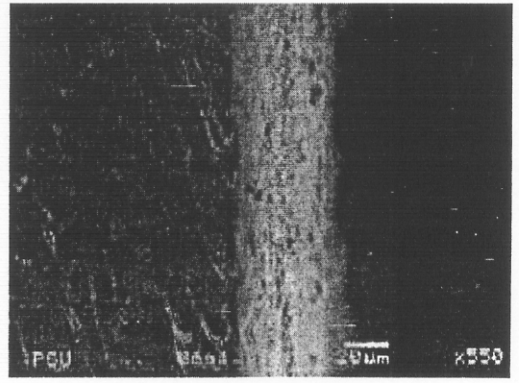
ระเหยง่ายต่อสภาพต่าง (VFA:Alkalinity) มากกว่า 0.4 ดังตารางที่ 6 มีผลทำให้จุลินทรีย์เริ่มตาย (เกรียงศักดิ์, 2543), และหลุดลอกออกมาจากตัวกลางกรอง ดังนั้นจุลินทรีย์แขวนลอยอยู่ในระบบจึงเพิ่มมากขึ้น ปริมาณของแข็งแขวนลอยระเหยง่ายในน้ำทิ้งที่ออกจากระบบมีแนวโน้มสูงขึ้น ประกอบกับความหนาของฟิล์มชีวะมีแนวโน้มลดลง ดังภาพประกอบ 3.7 และ 3.8



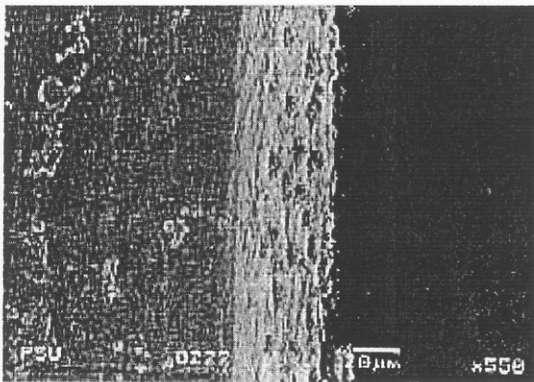
ภาพประกอบ 3.7 ความหนาของฟิล์มชีวะอัตราภาระบรทุกสารอินทรีย์ต่าง ๆ



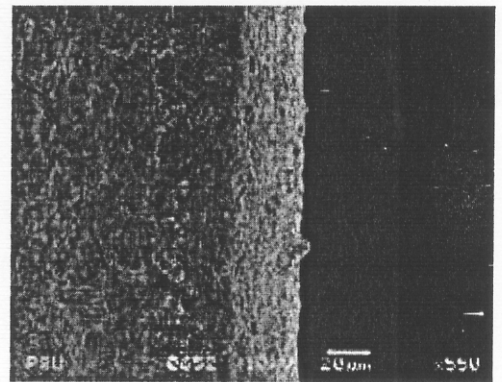
ก. อัตราภาระบรรทุกสารอินทรีย์
0.3 กก.ซีไอดี/ลบ.ม.-วัน



ข. อัตราภาระบรรทุกสารอินทรีย์
0.6 กก.ซีไอดี/ลบ.ม.-วัน



ค. อัตราภาระบรรทุกสารอินทรีย์
0.9 กก.ซีไอดี/ลบ.ม.-วัน



ง. อัตราภาระบรรทุกสารอินทรีย์
1.2 กก.ซีไอดี/ลบ.ม.-วัน

ภาพประกอบ 3.8 ตัวอย่างความหนาฟิล์มชีวะที่แสดงด้วยเครื่อง SEM ด้วยกำลังขยาย 550 เท่าที่อัตราภาระบรรทุกสารอินทรีย์ต่างๆ

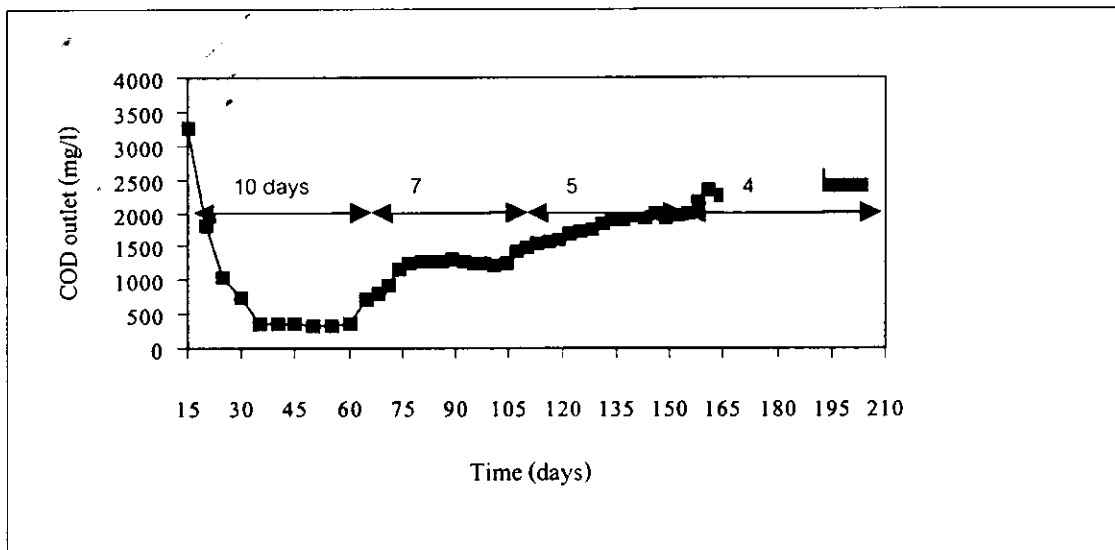
3.1.2 ระยะเวลาที่เก็บ (Hydraulic retention time, HRT)

การศึกษามวลของระยะเวลาที่เก็บต่อประสิทธิภาพการกำจัดซีไอดี พบว่าประสิทธิภาพการกำจัดซีไอดีลดลง เมื่อระยะเวลาที่เก็บลดลง โดยที่อัตราภาระบรรทุกสารอินทรีย์ 0.6 กก.ซีไอดี/ลบ.ม.-วัน พบว่าประสิทธิภาพในการกำจัดซีไอดีเฉลี่ยที่ระยะเวลาที่เก็บ 10 7 5 และ 4 วันเท่ากับ 94.3 78.7 65.0 และ 59.7 เปอร์เซ็นต์ ตามลำดับ แสดงในตารางที่ 3.2

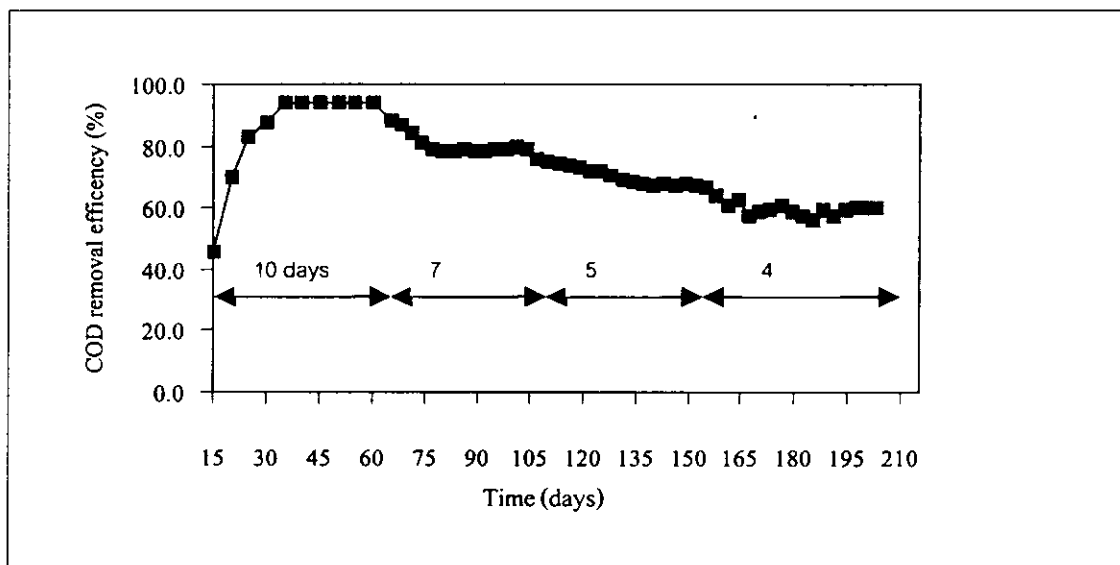
ตารางที่ 3.2 ผลการทดลองเฉลี่ยของระบบถังกรองไร้อากาศภายใต้สภาวะคงตัวที่ระยะเวลาพักเก็บต่าง ๆ (อัตราภาระบรรจุสารอินทรีย์ 0.6 กก.ซีไอดี/ลบ.ม.-วัน)

พารามิเตอร์	ระยะเวลาพักเก็บ (วัน)				
	10	7	5	4	ค่าเบี่ยงเบนมาตรฐาน
ความเข้มข้นซีไอดี (มก./ล.)	342	1,237	1,964	2,401	4-25
ประสิทธิภาพการกำจัดซีไอดี (%)	94.3	78.7	67.3	59.7	0.1-0.5
ของแข็งแขวนลอยระเหยง่าย (มก./ล.)	1,645	1,535	1,433	1,100	20-28
กรดไขมันระเหยง่าย (มก./ล. ในรูป CH_3COOH)	496	1,312	1,456	1,729	44-84
สภาพต่าง (มก./ล. ในรูป CaCO_3)	2,088	2,355	2,079	1,875	46-75
ความเป็นกรด-ด่าง	8.09	8.13	7.73	7.03	0.03-0.11
อัตราส่วนกรดไขมันระเหยง่ายต่อสภาพต่าง (-)	0.24	0.58	0.70	0.92	0.02-0.07
ความหนาฟิล์มชีวะ (ไมครอน)	68.10	47.71	34.86	20.22	3.43-10.11

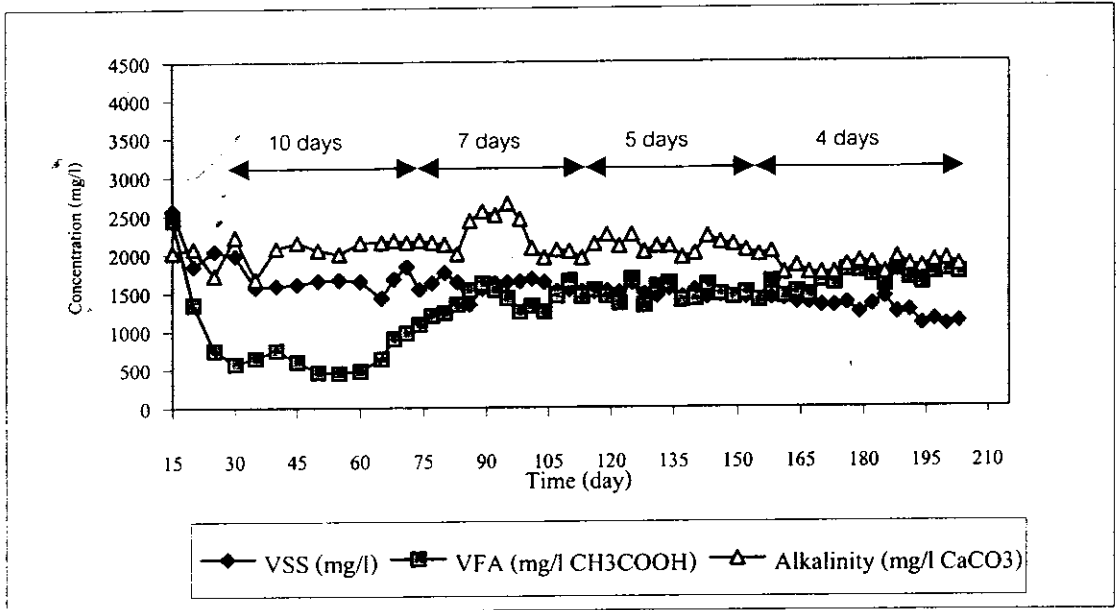
จากภาพประกอบ 3.9 และ 3.10 ที่ระยะเวลาพักเก็บ 10 วัน จะให้ประสิทธิภาพการกำจัดซีไอดีสูงสุด เมื่อเทียบกับประสิทธิภาพการกำจัดซีไอดีที่ระยะเวลาพักเก็บ 7 5 และ 4 วัน ตามลำดับ ซึ่งสอดคล้องผลการทดลองของรังชัย และวิบูลลักษณ์ (1997) พบว่าโดยทั่วไปแล้วเวลาที่ใช้ในการบำบัดไม่ควรต่ำกว่า 5 วัน ระยะเวลาที่เหมาะสมคือ 10 วัน ที่อัตราภาระบรรจุสารอินทรีย์ 0.8-4.8 กก.ซีไอดี/ลบ.ม.-วัน ประสิทธิภาพการกำจัดซีไอดี 84-98 เปอร์เซ็นต์ นอกจากนี้ในการศึกษาอื่นๆ ก็ได้ผลในแนวโน้มเช่นเดียวกันที่แสดงว่าระยะเวลาพักเก็บที่ลดลง จะทำให้ประสิทธิภาพการกำจัดซีไอดีลดลง Denac และ Dunn (1988) ได้เปรียบเทียบประสิทธิภาพของถังปฏิกรณ์แบบ Packed bed และ Fluidized bed ภายใต้อัตราภาระบรรจุสารอินทรีย์ 10 กก.ซีไอดี/ลบ.ม.-วัน พบว่าประสิทธิภาพการกำจัดซีไอดีทั้งสองถังปฏิกรณ์ลดลง เมื่อระยะเวลาพักเก็บลดลง Grobicki และ Stuckey (1991) พบว่าอัตราการถ่ายโอนมวลจะลดลงเมื่อระยะเวลาพักเก็บลดลง Guiot et al., (1989) พบว่าความเข้มข้นซีไอดีที่ทางออกของถังปฏิกรณ์มีค่าเพิ่มขึ้นเมื่อระยะเวลาพักเก็บลดลงนั้น กล่าวคือ ประสิทธิภาพการกำจัดซีไอดีจะมีค่าลดลง



ภาพประกอบ 3.9 ความเข้มข้นซีโอดีทางออกของถังปฏิกรณ์แบบกรองไร้อากาศที่ระยะเวลาเก็บต่าง ๆ

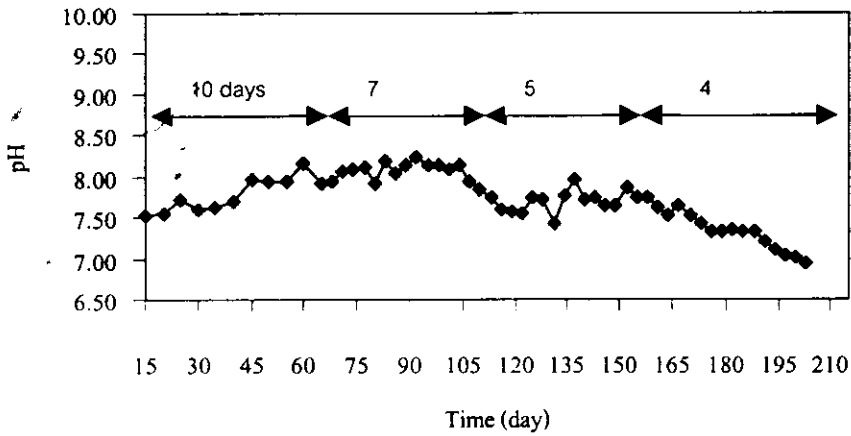


ภาพประกอบ 3.10 ประสิทธิภาพการกำจัดซีโอดีของถังปฏิกรณ์แบบกรองไร้อากาศที่ระยะเวลาเก็บต่าง ๆ

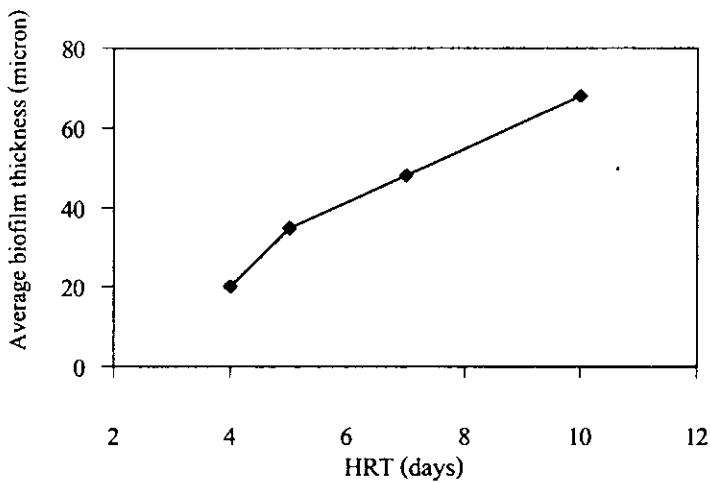


ภาพประกอบ 3.11 ปริมาณกรดไขมันระเหยง่าย สภาพต่าง และปริมาณของแข็งแขวนลอยระเหยง่ายของถังปฏิกรณ์แบบกรองไร้อากาศที่ระยะเวลาพักเก็บต่าง ๆ

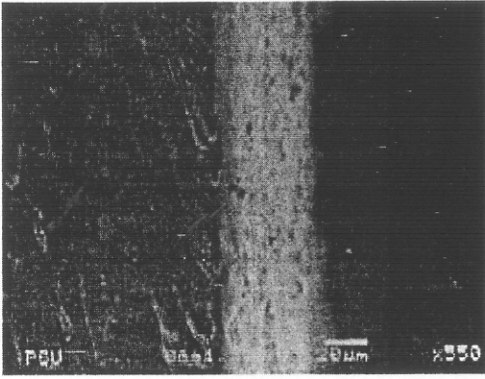
เนื่องจากจุลินทรีย์ชนิดสร้างมีเทนถูกยับยั้ง ทำให้เกิดการสะสมของไขมันระเหยง่ายจำนวนมากเกิดขึ้น (Chua *et al.*, 1997) ทำให้กรดไขมันระเหยง่ายไม่สามารถถูกย่อยสลายให้เป็นก๊าซคาร์บอนไดออกไซด์ และก๊าซมีเทนได้ ซึ่งกรดไขมันระเหยง่ายมีค่าเฉลี่ยเท่ากับ 496 1,312 1,456 และ 1,729 มก./ล. ตามลำดับ ดังแสดงภาพประกอบ 3.11 มีผลทำให้อัตราส่วนของกรดไขมันระเหยง่ายต่อสภาพต่างมากกว่า 0.4 แสดงในตารางที่ 3.2 มีแนวโน้มเพิ่มขึ้นเมื่อระยะเวลาพักเก็บลดลงซึ่งเป็นสภาพที่จุลินทรีย์สร้างมีเทนลดจำนวนลง ทำให้ประสิทธิภาพการกำจัดซีโอดีลดลงด้วย ประกอบกับค่าสภาพต่างมีแนวโน้มคงที่ เนื่องจากจุลินทรีย์สร้างมีเทนมีจำนวนน้อยทำให้การย่อยสลายกรดไขมันแล้วทำให้เกิดก๊าซคาร์บอนไดออกไซด์น้อย ผลก็คือสภาพต่างจึงมีแนวโน้มคงที่ ประกอบกับค่าความเป็นกรด-ด่างของระบบมีแนวโน้มลดลงเช่นกัน ดังภาพประกอบ 3.12



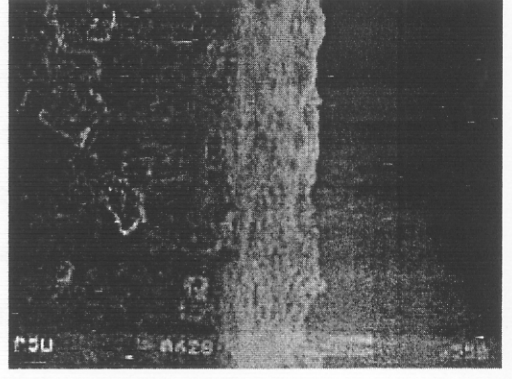
ภาพประกอบ 3.12 ความเป็นกรด-ด่างของถังปฏิกรณ์แบบกรองไร้อากาศที่ระยะเวลา
กักเก็บต่างๆ



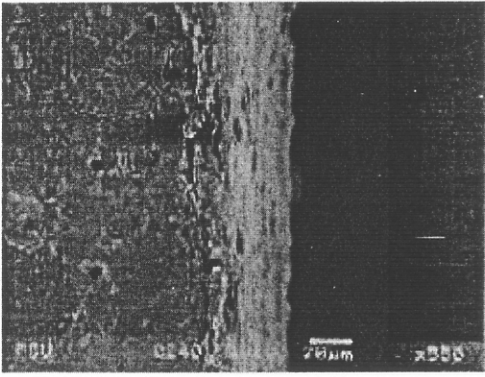
ภาพประกอบ 3.13 ความหนาของฟิล์มชีวะที่ระยะเวลากักเก็บต่าง ๆ



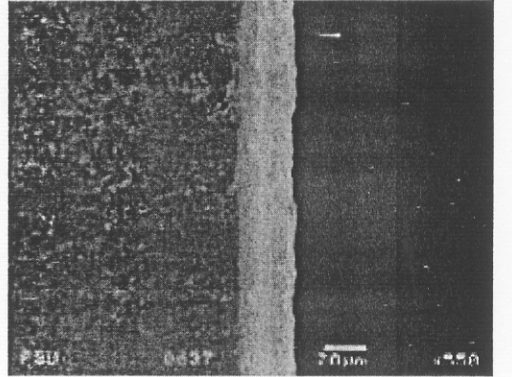
ก. ระยะเวลาจกเก็บ 10 วัน



จ. ระยะเวลาจกเก็บ 7 วัน



ค. ระยะเวลาจกเก็บ 5 วัน



ง. ระยะเวลาจกเก็บ 4 วัน

ภาพประกอบ 3.14 ตัวอย่างความหนาฟิล์มชีวะที่แสดงด้วยเครื่อง SEM ด้วยกำลังขยาย 550 เท่าที่ระยะเวลาจกเก็บต่างๆ

จากภาพประกอบ 3.11 แสดงปริมาณของแข็งแขวนลอยระเหยง่ายในน้ำทิ้งที่ออกจากระบบลดลง เมื่อระยะเวลาจกเก็บลดลง เนื่องจากที่ระยะเวลาจกเก็บต่ำ ความเร็วของน้ำเสียที่ผ่านระบบสูงมีผลทำให้จุลินทรีย์ถูกพัดพาออกจากระบบมากในช่วงแรก แต่เมื่อระบบเข้าสู่สภาวะคงตัว ปริมาณจุลินทรีย์ที่ออกจากระบบจะมีแนวโน้มลดลง โดยทั่วไปแล้วลักษณะของระบบ Immobilized cell จุลินทรีย์ที่ออกจากระบบมักจะมีปริมาณของแข็งออกจากระบบต่ำ (Chua *et al.*, 1997) ทำให้ของแข็งแขวนลอยระเหยง่ายที่วัดได้มีปริมาณลดลง ซึ่งมีค่าเฉลี่ยดังนี้ 1,645 1,535 1,433 และ 1,100 มก./ล.ตามลำดับ ซึ่งสอดคล้องกับข้อมูลการทดลองของ Faisal *et al.*, (1999) พบว่าที่ระยะเวลาจกเก็บสูงขึ้น ปริมาณของแข็งแขวนลอยระเหยง่ายมีค่าลดลง ดังนั้นความหนาของฟิล์มชีวะที่เกาะอยู่บนตัวกลางกรองซึ่งมีแนวโน้มลดลง เมื่อระยะเวลาจกเก็บลดลง ดังภาพประกอบ 3.13 และ 3.14

3.1.3 พื้นที่ผิวจำเพาะของตัวกลางกรอง (Specific surface area of media)

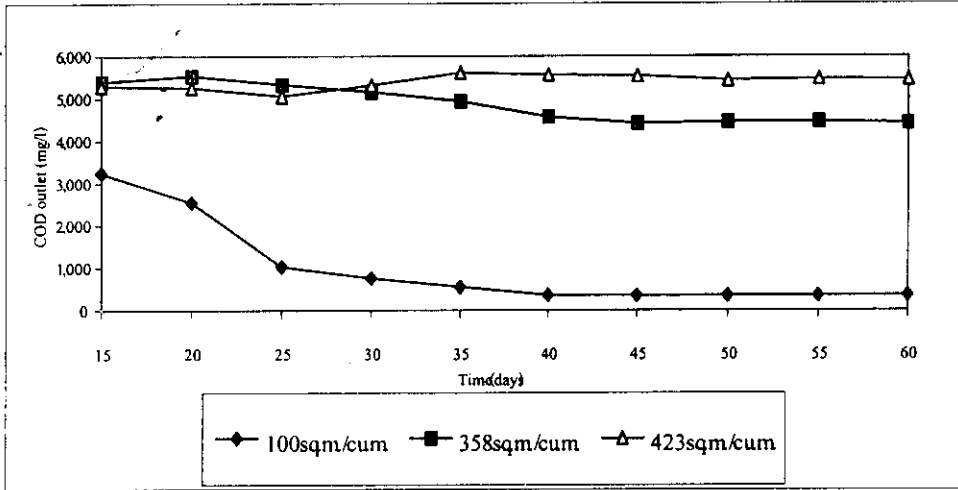
การศึกษาผลของพื้นที่ผิวจำเพาะของตัวกลางกรองต่อประสิทธิภาพการกำจัดซีโอตี พบว่า ประสิทธิภาพสูงขึ้นตามพื้นที่ผิวพื้นที่ผิวจำเพาะของตัวกลางกรองที่ลดลง โดยถึงปฏิกรณ์ที่มีพื้นที่ผิวจำเพาะของตัวกลางกรองดังนี้ 100 358 และ 423 m^2/m^3 โดยใช้น้ำเสียที่มีความเข้มข้นซีโอตี 6,000 mg/l . ที่ระยะเวลาพักเก็บ 10 วัน พบว่าประสิทธิภาพในการกำจัดซีโอตีเฉลี่ยดังนี้ 94.3 26.3 และ 9.0 เปอร์เซ็นต์ ตามลำดับ ดังตารางที่ 3.3

ตารางที่ 3.3 ผลการทดลองเฉลี่ยภายใต้สภาวะคงตัวที่พื้นที่ผิวจำเพาะของตัวกลางกรอง ขนาด ต่างๆ

พารามิเตอร์	พื้นที่ผิวจำเพาะของตัวกลางกรอง (m^2/m^3)			
	100	358	423	ค่าเบี่ยงเบนมาตรฐาน
ความเข้มข้นซีโอตี (mg/l .)	342	4,420	5,460	10.5-55.0
ประสิทธิภาพการกำจัดซีโอตี (%)	94.3	26.3	9.0	0.2-4.8
ของแข็งแขวนลอยระเหยง่าย (mg/l .)	1,645	1,700	1,837	11.1-30.9
กรดไขมันระเหยง่าย (mg/l . ในรูป CH_3COOH)	630	3,722	4,190	29.4-76.8
สภาพต่าง (mg/l . ในรูป CaCO_3)	2,088	2,000	2,025	20.4-75.0
ความเป็นกรด-ด่าง	8.02	7.21	6.92	0.06-0.13
อัตราส่วนกรดไขมันระเหยง่ายต่อสภาพต่าง (-)	0.3	0.9	1.04	0.02-0.06
ความหนาฟิล์มชีวะ (ไมครอน)	68.10	25.36	17.22	3.42-8.49

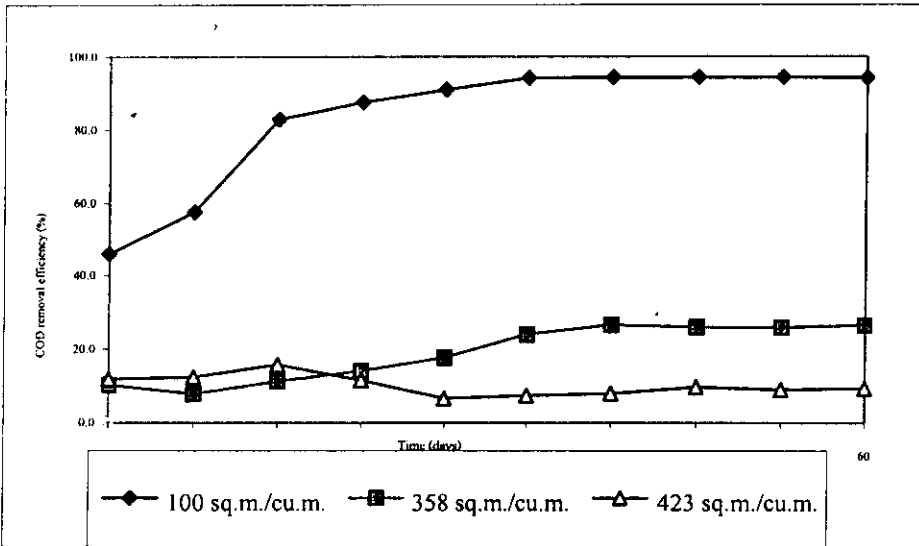
จากภาพประกอบ 3.15 และ 3.16 จากผลของพื้นที่ผิวจำเพาะของตัวกลางกรองที่เพิ่มขึ้น ต่อการลดลงของประสิทธิภาพการกำจัดซีโอตี จะเห็นว่าถึงปฏิกรณ์ที่มีพื้นที่ผิวจำเพาะของตัวกลางกรอง 100 m^2/m^3 จะให้ประสิทธิภาพการกำจัดซีโอตีสูงสุด เมื่อเทียบกับประสิทธิภาพการกำจัดซีโอตี ถึงปฏิกรณ์ที่มีพื้นที่ผิวจำเพาะของตัวกลางกรอง 358 และ 423 m^2/m^3 สอดคล้องผลการทดลองของ Kuan-Yeow Show *et al.*, (1998) ซึ่งได้ศึกษาอิทธิพลของชีวมวลที่อยู่บนตัวกลางกรอง ในช่วงที่อัตราภาระบรรจุสารอินทรีย์ 2-4 g/l .-วัน พบว่า ปริมาณชีวมวลที่เกาะบนตัว

กลางกรองที่มีพื้นที่ผิวจำเพาะ $132 \text{ m}^2/\text{m}^3$ ซึ่งมีพื้นที่ผิวจำเพาะของตัวกลางกรองน้อยที่สุดจะมีปริมาณชีวมวลที่อยู่ในระบบมากที่สุด และประสิทธิภาพการกำจัดซีโอดีสูงสุด



ภาพประกอบ 3.15 ความเข้มข้นซีโอดีทางออกของถังปฏิกรณ์แบบกรอง

ไร้อากาศที่มีพื้นที่ผิวจำเพาะของตัวกลางกรองต่าง ๆ



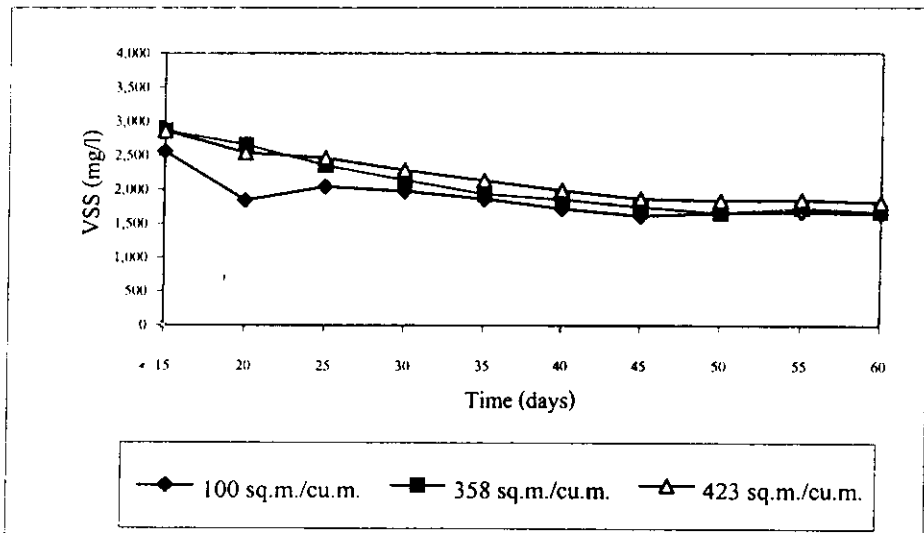
ภาพประกอบ 3.16 ประสิทธิภาพการกำจัดซีโอดีของถังปฏิกรณ์แบบกรองไร้อากาศที่มีพื้นที่ผิวจำเพาะของตัวกลางกรองต่าง ๆ

เนื่องจากอัตราการไหลของน้ำเสียที่ไหลผ่านตัวกลางกรองที่แตกต่างกันทำให้เกิดแรงเฉือน (Hydraulic shear) ที่ผิวของตัวกลางกรองที่แตกต่างกัน ในถังปฏิกรณ์บรรจุตัวกลางกรองที่มีพื้นที่

ผิวจำเพาะ 423 m^2/m^3 มีแรงเฉือนเกิดขึ้นมากที่สุด เนื่องจากค่าอัตราการผุพังของฟิล์มชีวะ เนื่องจากแรงเฉือนซึ่งคำนวณจากสมการของ Rittman และ McCarty (1982) ดังตารางที่ 3.4

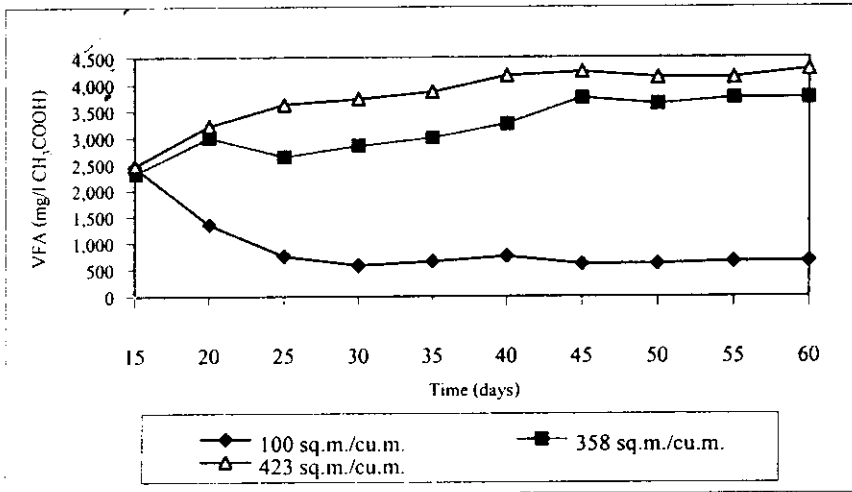
ตารางที่ 3.4 อัตราการผุพังของฟิล์มชีวะ ในถังปฏิกรณ์แบบกรองไร้อากาศที่มีพื้นที่ผิวจำเพาะของตัวกลางกรองขนาดต่างๆ

พื้นที่ผิวจำเพาะของตัวกลางกรอง (m^2/m^3)	อัตราการผุพังของฟิล์มชีวะ (วัน^{-1})
100	4.88×10^{-3}
358	4.92×10^{-3}
423	4.94×10^{-3}

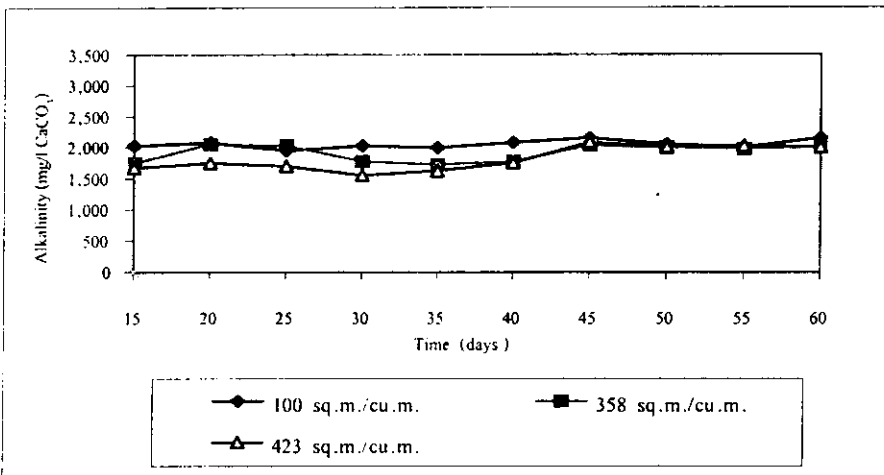


ภาพประกอบ 3.17 ปริมาณของแข็งแขวนลอยระเหยง่ายของถังปฏิกรณ์แบบกรองไร้อากาศที่มีพื้นที่ผิวจำเพาะของตัวกลางกรองต่างๆ

จากการอัตราการผุพังของฟิล์มชีวะที่เพิ่มขึ้น ทำให้ปริมาณของแข็งแขวนลอยระเหยง่ายที่อยู่ในระบบมีแนวโน้มเพิ่มขึ้นซึ่งมีค่าเฉลี่ยเท่ากับ 1,645 1,700 และ 1837 mg/l . เมื่อพื้นที่ผิวจำเพาะของตัวกลางกรองมากขึ้น ดังภาพประกอบ 23 เนื่องจากระบบเริ่มขาดเสถียรภาพ กล่าวคืออัตราส่วนระหว่างกรดไขมันระเหยง่ายต่อสภาพด่าง (VFA:Alkalinity) มากกว่า 0.4 ดังตารางที่ 3.3 มีผลทำให้จุลินทรีย์เริ่มตาย (เกรียงศักดิ์, 2543) และหลุดออกจากตัวกลางกรอง



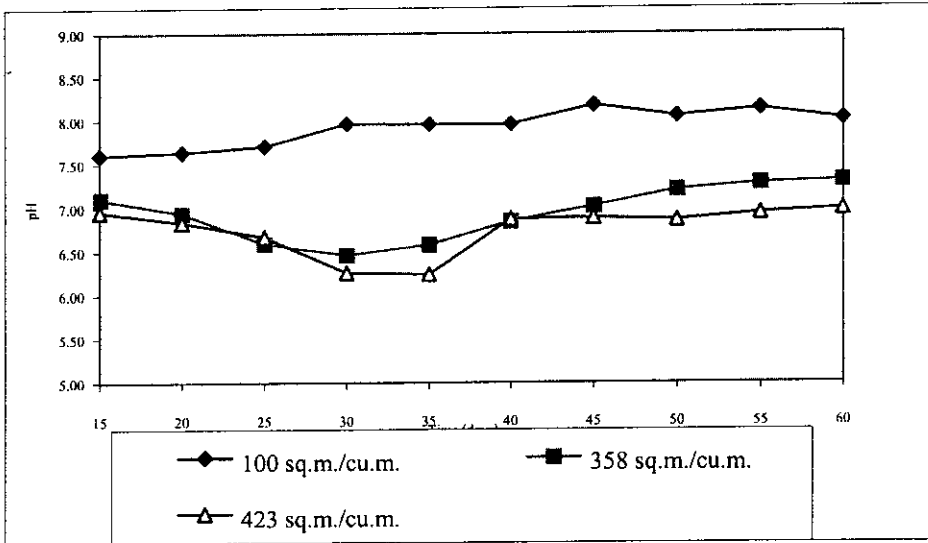
ภาพประกอบ 3.18 ปริมาณกรดไขมันระเหยง่ายของถังปฏิกรณ์แบบกรองไร้อากาศ ที่มีพื้นที่ผิวจำเพาะของตัวกลางกรองต่าง ๆ



ภาพประกอบ 3.19 ปริมาณสภาพต่างของถังปฏิกรณ์แบบกรองไร้อากาศ ที่มีพื้นที่ผิวจำเพาะของตัวกลางกรองต่าง ๆ

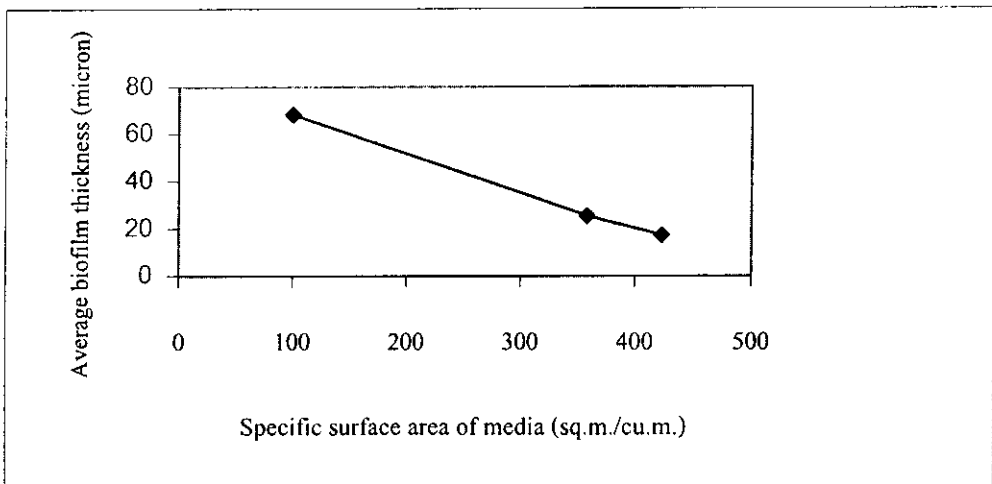
จากภาพประกอบ 3.18 และ 3.19 แสดงปริมาณกรดไขมันระเหยง่าย และสภาพต่างพบว่ากรดไขมันระเหยง่ายที่ 100 ม²/ม³ ต่ำที่สุดเมื่อเทียบกับที่ 358 และ 423 ม²/ม³ ขณะที่สภาพต่างมีแนวโน้มคงที่ เนื่องแรงเฉือนทำให้จุลินทรีย์ชนิดสร้างกรดและมีเทนหลุดออกไปมาก ในขณะที่อัตรา

ภาวะบรรทุกลสารอินทรีย์คองที่ ดังนั้นจุลินทรีย์ชนิดสร้างมีเทนจึงมีปริมาณไม่เพียงพอ โดยปกติแล้ว จุลินทรีย์ชนิดสร้างกรดจะมีมากกว่าชนิดสร้างมีเทน และทนต่อสภาพความเป็นกรดได้ดี(เกรียง ศักดิ์, 2543)

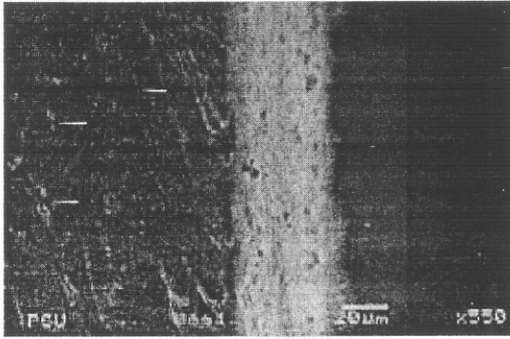


ภาพประกอบ 3.20 ความเป็นกรด-ด่างของถังปฏิกรณ์แบบกรองไร้อากาศที่มีพื้นที่ผิวจำเพาะของตัวกลางกรองต่าง ๆ

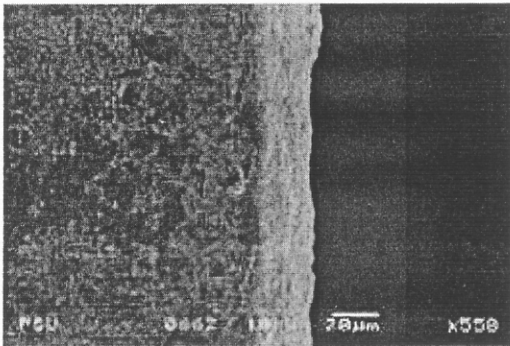
ที่จะย่อยสลายกรดอินทรีย์เหล่านี้ ทำให้เกิดการสะสมของกรดไขมันระเหยง่าย มีผลทำให้ค่าความเป็นกรด-ด่างของระบบมีแนวโน้มลดลงเช่นกัน ดังภาพประกอบ 3.20 มีผลทำให้ความหนาของฟิล์มชีวะมีแนวโน้มลดลง ดังภาพประกอบ 3.21 และ 3.22



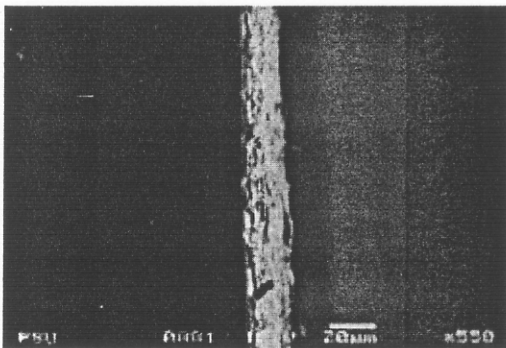
ภาพประกอบ 3.21 ความหนาของฟิล์มชีวะที่มีพื้นที่ผิวจำเพาะของตัวกลางกรองต่าง ๆ



ก. พื้นที่ผิวจำเพาะ 100 m^2/m^3



ข. พื้นที่ผิวจำเพาะ 358 m^2/m^3



ค. พื้นที่ผิวจำเพาะ 423 m^2/m^3

ภาพประกอบ 3.22 ตัวอย่างความหนาฟิล์มซีวีที่แสดงด้วยเครื่อง SEM ด้วยกำลังขยาย 550 เท่าที่พื้นที่ผิวจำเพาะของตัวกลางกรองต่างๆ

3.2 สมการทางคณิตศาสตร์สำหรับทำนายประสิทธิภาพการกำจัดซีไอดี

จากการทดลองเมื่อนำข้อมูลประสิทธิภาพการบำบัดน้ำเสียจากการทดลองหาความสัมพันธ์

ระหว่างความเข้มข้นน้ำเสียซีโอดีทางเข้า (S_i) ความเข้มข้นน้ำเสียซีโอดีทางออก (S_e) ระยะเวลาพักเก็บในถังปฏิกรณ์ (HRT) ได้ความสัมพันธ์ดังสมการที่ (3.1)

$$S_e = aS_i^x HRT^y \quad \text{----- (3.1)}$$

เมื่อ S_e = ความเข้มข้นซีโอดีทางออก (มก./ล.)

S_i = ความเข้มข้นซีโอดีทางเข้า (มก./ล.)

HRT = ระยะเวลาพักเก็บ (วัน)

a, x, y = ค่าคงที่

ในการหาค่าความสัมพันธ์ระหว่าง S_e , S_i และ HRT โดยใช้วิธีวิเคราะห์ แบบ Nonlinear – regression โดยใช้โปรแกรม Polymath 5.1 วิเคราะห์ (รายละเอียดการคำนวณดูภาคผนวก) ซึ่งมีค่าเบี่ยงเบนมาตรฐาน (r^2) มีค่า 0.958 จะได้

$$S_e = 8.70 \times 10^{-12} S_i^{4.78} HRT^{2.65} \quad \text{----- (3.1a)}$$

จากสมการที่ (3.1) สามารถเพิ่มตัวแปรผลของพื้นที่ผิวของตัวกลางกรอง จะได้สมการที่ (3.2) เพื่อให้มีความถูกต้องในการทำนายประสิทธิภาพมากขึ้นดังนี้

$$S_e = aS_i^x HRT^y A_{sp}^z \quad \text{----- (3.2)}$$

เมื่อ S_e = ความเข้มข้นซีโอดีทางออก (มก./ล.)

S_i = ความเข้มข้นซีโอดีเข้าออก (มก./ล.)

HRT = ระยะเวลาพักเก็บ (วัน)

A_{sp} = พื้นที่ผิวจำเพาะของตัวกลางกรอง (m^2/m^3)

a, x, y, z = ค่าคงที่

ในการหาค่าความสัมพันธ์ระหว่าง S_e , S_i , HRT และ A_{sp} โดยใช้วิธีวิเคราะห์ แบบ Nonlinear – regression โดยใช้โปรแกรม Polymath 5.1 วิเคราะห์ (รายละเอียดการคำนวณดูภาคผนวก) จะได้

$$S_e = 5.44 \times 10^{-17} S_i^{4.49} HRT^{-2.43} A_{sp}^{2.08} \quad \text{-----}(3.2a)$$

จากสมการที่ (3.2a) มีค่าเบี่ยงเบนมาตรฐาน (R^2) มีค่า 0.968 เมื่อเปรียบเทียบกับระบบบำบัดน้ำเสียแบบกรองไร้อากาศที่มีลักษณะตัวกลางคล้ายกันคือ Raschig ring ในการบำบัดน้ำเสียชนิดต่างๆ ดังตารางที่ 3.5

จากสมการที่ (3.1a) และ (3.2a) ที่ได้โดยจากใช้วิธีวิเคราะห์ทางคณิตศาสตร์ แบบ Nonlinear - regression โดยใช้โปรแกรม Polymath 5.1 นำไปสู่การทดลองเพื่อทดสอบความเป็นไปได้ของสมการ โดยทำการทดลองเปลี่ยนระยะเวลาเก็บน้ำเสีย 8 วัน ซึ่งแสดงดังตารางที่ 3.6 และ 3.7 แสดงผลของการทดสอบสมการทางคณิตศาสตร์และการทดลอง

ตารางที่ 3.5 เปรียบเทียบสมการทางคณิตศาสตร์จากการศึกษาทดลองและสมการทางคณิตศาสตร์ที่ใช้ในการบำบัดน้ำเสียชนิดต่าง ๆ

Researcher	Wastewater type	OLR (g COD / L. d.)	Relationship	R^2	Obs No.
Go nzalez (1987)	Tin Stillage	0.51-21.66	$S_e = 0.276S_i^{1.08} HRT^{-1.32}$	0.940	10
Jhung and Choi (1995)	Molasses	0.75-19.33	$S_e = 6.770S_i^{0.28} HRT^{-0.39}$	0.894	9
Francis et al. (1998)	Municipal wastewater	0.2-0.54	$S_e = 0.084S_i^{0.73} HRT^{-0.97}$	0.926	6
Apisit et al. (2001)	SAA paper wastewater	2.37-10.66	$S_e = 0.037S_i^{1.46} HRT^{-0.418}$	0.851	5
This study	Synthetic wastewater	0.3-1.2	$S_e = 8.7 \times 10^{-14} S_i^{4.78} HRT^{-2.65}$	0.958	6
This study (modify)	Synthetic wastewater	0.3-1.2	$S_e = 5.44 \times 10^{-17} S_i^{4.49} HRT^{-2.43} A_{sp}^{2.08}$	0.968	9

ตารางที่ 3.6 ผลการทดสอบสมการทางคณิตศาสตร์ที่ระยะเวลากักเก็บ

8 วันโดยใช้ สมการ $S_e = 8.7 \times 10^{-14} S_i^{4.78} \text{HRT}^{-2.65}$

ความเข้มข้นซีโอดีทางเข้า (มก./ล.)	ความเข้มข้นซีโอดีทางออก (มก./ล.)		
	สมการ	ผลการทดสอบ	ความผิดพลาด (เปอร์เซ็นต์)
6,000	403	450	10.0
9,000	1,552	1,715	11.3
12,000	6,138	5,548	10.6

ตารางที่ 3.7 ผลการทดสอบสมการทางคณิตศาสตร์ที่ระยะเวลากักเก็บ

8 วัน โดยใช้สมการ $S_e = 5.44 \times 10^{-17} S_i^{4.49} \text{HRT}^{-2.43} A_{sp}^{2.08}$

ความเข้มข้นซีโอดีทางเข้า (มก./ล.)	ความเข้มข้นซีโอดีทางออก (มก./ล.)		
	สมการ	ผลการทดสอบ	ความผิดพลาด (%)
6,000	436	450	3
9,000	1,660	1,715	3.3
12,000	6041	5,548	5.3

จากตารางที่ 3.6 และ 3.7 พบว่าค่าความเข้มข้นซีโอดีที่ทางออกของถังปฏิกรณ์แบบกรองไร้อากาศ ซึ่งคำนวณได้จากสมการ $S_e = 5.44 \times 10^{-17} S_i^{4.49} \text{HRT}^{-2.43} A_{sp}^{2.08}$ มีค่าใกล้เคียงกับการทดลองมากกว่าสมการ $S_e = 8.70 \times 10^{-14} S_i^{4.78} \text{HRT}^{-2.65}$ เนื่องจากสมการใช้ตัวแปรที่มีผลต่อการกำจัดซีโอดีมากกว่า และให้ผลการทดลองมากกว่า จึงทำให้เปอร์เซ็นต์ความคลาดเคลื่อนน้อยกว่า ดังนั้นสมการนี้สามารถนำมาใช้ในการทำนายผลเบื้องต้นของการบำบัดที่ได้จากการบำบัดน้ำเสียที่มีอัตราภาระบรรทุกสารอินทรีย์ 0.3-1.2 กก.ซีโอดี/ลบ.ม.-วัน ที่ระยะเวลากักเก็บ 4-10 วัน

3.3 แบบจำลองฟิล์มชีวะในถังปฏิกรณ์แบบกรองไร้อากาศ

จากรูปแบบการคำนวณหาความหนาฟิล์มชีวะที่ได้นำเสนอในบทที่ 1 มีความซับซ้อน เนื่องจากสมการติดในรูปของดิฟเฟอเรนเชียล ดังสมการที่(1.1)-สมการที่(1.4) และใช้วิธีการลองผิดลองถูก

(Trial and Error) ดังสมการที่ (1.6)-สมการที่ (1.9) เพื่อหาค่าตัวแปรต่างๆ ดังนั้นการหาค่าตัวแปรต่างๆ เพื่อแทนค่าในสมการความหนาฟิล์มชีวะของ Rittmann และ McCarty (1980a) เพื่อให้ง่ายสำหรับการคำนวณ

การคำนวณความหนาฟิล์มชีวะสามารถหาได้จากสมการของ Rittman and McCarty (1980a) ดังสมการที่ (1.5) โดยนำค่าต่างๆที่ได้จากการทดลองโดยการหาค่าตัวแปรต่าง ๆ ในสมการที่ (2.3)-สมการที่ (2.17) สามารถคำนวณ ดังตารางที่ 3.8 และ 3.9

ตารางที่ 3.8 ผลของฟลักซ์สารอาหาร สัมประสิทธิ์ผลิตได้ของชีวมวล และ ความหนาแน่นของจุลินทรีย์

พารามิเตอร์	J	Y_t	X_t	
อัตราการระบรทุกสารอินทรีย์ *	0.3 กก.ซีโอดี/ลบ.ม.-วัน	2.83	0.54	1,690
	0.6 กก.ซีโอดี/ลบ.ม.-วัน	5.66	0.27	1,645
	0.9 กก.ซีโอดี/ลบ.ม.-วัน	8.03	0.16	1,279
	1.2 กก.ซีโอดี/ลบ.ม.-วัน	5.47	0.17	965
ระยะเวลาักเก็บ **	10 วัน	5.66	0.27	1,645
	7 วัน	4.76	0.20	1,535
	5 วัน	4.04	0.18	1,433
	4 วัน	3.60	0.09	1,100
พื้นที่ผิวจำเพาะของตัวกลางกรอง***	100 m^2/m^3	5.66	0.27	1,645
	358 m^2/m^3	0.44	0.92	1,700
	423 m^2/m^3	0.14	2.33	1,837

หมายเหตุ

* ที่ระยะเวลาักเก็บ 10 วัน และพื้นที่ผิวจำเพาะของตัวกลางกรอง 100 m^2/m^3

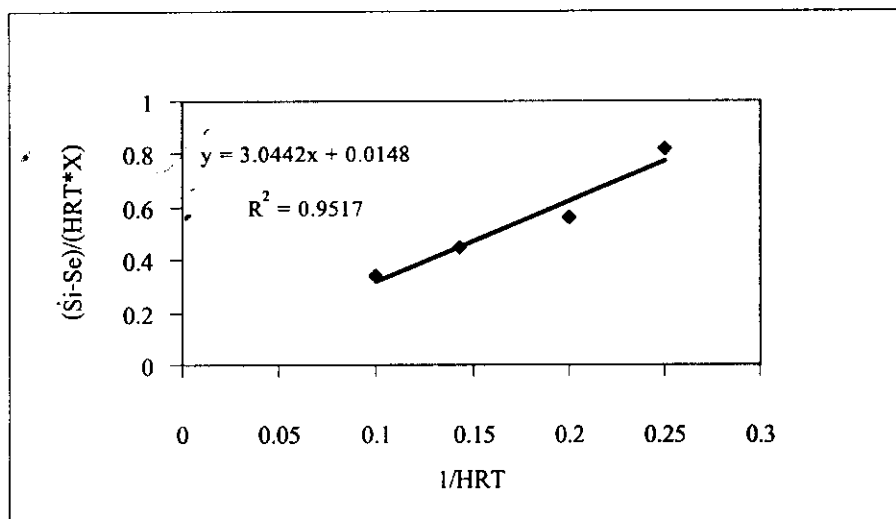
** ที่อัตราการระบรทุกสารอินทรีย์ และพื้นที่ผิวจำเพาะของตัวกลางกรอง 100 m^2/m^3

*** ที่อัตราการระบรทุกสารอินทรีย์ 0.6 กก.ซีโอดี/ลบ.ม.-วัน และระยะเวลาักเก็บ 10 วัน

J = ค่าฟลักซ์ของสารอาหาร (กก.สารอาหารที่ใช้/ตร.ชม.-วัน)

Y_t = ค่าสัมประสิทธิ์การผลิตได้ของชีวมวล (-)

X_t = ความหนาแน่นของจุลินทรีย์ (กก.ของแข็งแขวนลอยระเหยง่าย/ล.)



ภาพประกอบ 3.23 ความสัมพันธ์ระหว่าง $(S_i - S_e)/(HRT \cdot X)$ กับ $(1/HRT)$

จากภาพประกอบ 3.23 สามารถคำนวณหาอัตราการฟุ้งของฟิล์มชีวะเนื่องจากการตายของจุลินทรีย์โดยใช้สมการของโมนอด ดังสมการ (3.2a)

ตารางที่ 3.9 ผลการคำนวณอัตราการฟุ้งของฟิล์มชีวะ

พารามิเตอร์		b_{s1}	b_{s2}	b_s
อัตราการระบรทุกสารอินทรีย์*	0.3 กก.ซีโอดี/ลบ.ม.-วัน	4.86×10^{-3}	2.54×10^{-5}	4.88×10^{-3}
	0.6 กก.ซีโอดี/ลบ.ม.-วัน	4.86×10^{-3}	2.54×10^{-5}	4.88×10^{-3}
	0.9 กก.ซีโอดี/ลบ.ม.-วัน	4.86×10^{-3}	2.54×10^{-5}	4.88×10^{-3}
	1.2 กก.ซีโอดี/ลบ.ม.-วัน	4.86×10^{-3}	2.54×10^{-5}	4.88×10^{-3}
ระยะเวลาที่กักเก็บ**	10 วัน	4.86×10^{-3}	2.54×10^{-5}	4.88×10^{-3}
	7 วัน	4.86×10^{-3}	2.54×10^{-5}	4.88×10^{-3}
	5 วัน	4.86×10^{-3}	2.54×10^{-5}	4.88×10^{-3}
	4 วัน	4.86×10^{-3}	2.54×10^{-5}	4.88×10^{-3}
พื้นที่ผิวจำเพาะของตัวกลางกรอง***	$100 \text{ m}^2/\text{m}^3$	4.86×10^{-3}	2.54×10^{-5}	4.88×10^{-3}
	$358 \text{ m}^2/\text{m}^3$	4.86×10^{-3}	6.00×10^{-5}	4.92×10^{-3}
	$423 \text{ m}^2/\text{m}^3$	4.86×10^{-3}	7.54×10^{-5}	4.94×10^{-3}

หมายเหตุ

- * ที่ระยะเวลาพักเก็บ 10 วัน และพื้นที่ผิวจำเพาะของตัวกลางกรอง $100 \text{ m}^2/\text{m}^3$
 - ** ที่อัตราการระบรทุกสารอินทรีย์ และพื้นที่ผิวจำเพาะของตัวกลางกรอง $100 \text{ m}^2/\text{m}^3$
 - *** ที่อัตราการระบรทุกสารอินทรีย์ $0.6 \text{ กก.ซีโอดี/ลบ.ม.-วัน}$ และระยะเวลาพักเก็บ 10 วัน
- $b_s =$ อัตราการผุพังของชีวมวล (วัน^{-1})
- $b_{s1} =$ อัตราการผุพังของชีวมวลเนื่องจากการตายของชีวมวล (วัน^{-1})
- $b_{s2} =$ อัตราการผุพังของชีวมวลเนื่องจากแรงเฉือน (วัน^{-1})

จากการคำนวณความหนาฟิล์มชีวะโดยใช้สมการของ Rittman และ McCarty (1980a) ดังตารางที่ 3.10 จะเห็นได้ว่าที่อัตราการระบรทุกสารอินทรีย์สูง มีผลทำให้ค่าฟลักซ์สารอาหาร (J) เพิ่มขึ้น สัมประสิทธิ์การผลิตได้ของชีวมวล (Y_r) ลดลง และความหนาแน่นจุลินทรีย์ (X_r) เพิ่มขึ้น ขณะที่อัตราการผุพังของฟิล์มชีวะ (b_s) คงที่ เนื่องจากปริมาณสารอินทรีย์ที่ถูกป้อนเข้าสู่ระบบมีมากเกินไปความต้องการของจุลินทรีย์ในระบบ จุลินทรีย์เกิดการช็อคและตายเพิ่มขึ้น มีผลทำให้ฟิล์มชีวะที่เกาะบนผิวตัวกลางกรองหลุดลอกออกมากขึ้น ปริมาณจุลินทรีย์ที่เกาะบนผิวตัวกลางกรองลดลง ซึ่งสอดคล้องกับประสิทธิภาพการกำจัดซีโอดี และความหนาฟิล์มชีวะลดลง

ในกรณีระยะเวลาพักเก็บสูง มีผลทำให้ค่าฟลักซ์สารอาหาร (J) สัมประสิทธิ์การผลิตได้ของชีวมวล (Y_r) และความหนาแน่นจุลินทรีย์ (X_r) เพิ่มขึ้น ขณะที่อัตราการผุพังของฟิล์มชีวะ (b_s) คงที่ เนื่องจากมีการย่อยสลายสารอินทรีย์เพิ่มขึ้น นั้นแสดงว่าจุลินทรีย์ที่อยู่ในระบบมีปริมาณมากขึ้น ซึ่งสอดคล้องกับประสิทธิภาพการกำจัดซีโอดีและความหนาของฟิล์มชีวะเพิ่มขึ้น

ในกรณีพื้นที่ผิวจำเพาะของตัวกลางกรองเพิ่มขึ้น ค่าฟลักซ์สารอาหาร (J) ลดลง สัมประสิทธิ์การผลิตได้ของชีวมวล (Y_r) ความหนาแน่นจุลินทรีย์ (X_r) และอัตราการผุพังของฟิล์มชีวะ (b_s) เพิ่มขึ้น เนื่องจากอัตราการผุพังของชีวมวลเนื่องจากแรงเฉือนที่ผ่านตัวกลางกรองเพิ่มขึ้น ทำให้ฟิล์มชีวะที่เกาะบนผิวตัวกลางกรองหลุดลอกออก มีผลทำให้ปริมาณจุลินทรีย์ที่เกาะบนผิวตัวกลางกรองลดลง แต่ปริมาณจุลินทรีย์ที่หลุดลอกนี้จะเพิ่มในส่วนของจุลินทรีย์ที่แขวนลอยอยู่ในระบบ ซึ่งสังเกตจากค่าของแข็งแขวนลอยระเหยง่ายที่ออกจากระบบที่เพิ่มขึ้น ดังนั้นประสิทธิภาพการกำจัดซีโอดี และความหนาฟิล์มชีวะลดลง

จากผลการทดลองทุกการทดลองดังตารางที่ 3.9 จะเห็นว่าฟลักซ์สารอาหาร (J) ค่าสัมประสิทธิ์การผลิตได้ของชีวมวล (Y_r) อัตราการผุพังของชีวมวล (b_s) และความหนาแน่นของชีวมวล (X_r) มีความสัมพันธ์กันกับการคำนวณความหนาของฟิล์มชีวะ ซึ่งมีแนวโน้มการเพิ่มขึ้น และลดลงของแต่ละการทดลองแตกต่างกัน ดังนั้นความหนาของฟิล์มชีวะจะไม่ขึ้นกับตัวแปรใดตัวแปรหนึ่ง แต่ขึ้นกับทุกตัวแปร และแต่ละตัวแปรจะมีความสัมพันธ์ซึ่งกันและกัน

ตาราง 3.10 การคำนวณความหนาฟิล์มชีวะโดยสมการ Rittman and McCarty (1980a)

พารามิเตอร์		S_i (mg/l)	S_e (mg/l)	X_r (mg/l)	Biofilm moisture (%)	V (cm ³)	a (cm ² /cm ³)	Q (l/day)	J (mg/cm ² -day)	Y_t	b_s (day ⁻¹)	L_r Calculation wet (um)	L_r Calculation dry (um)	L_r SEM dry (um)	Error (%)
อัตราการบำบัดทุกสารอินทรีย์*	0.3 kg.COD/m ³ -day	3,000	172	1,590	96.3	2,750	1	2.75	2.83	0.541	0.00488	1,973	73.01	67.14	8.74
	0.6 kg.COD/m ³ -day	6,000	342	1,645	96.3	2,750	1	2.75	5.66	0.275	0.00488	1,939	71.74	68.1	5.35
	0.9 kg.COD/m ³ -day	9,000	975	1,845	96.2	2,750	1	2.75	8.03	0.159	0.00488	1,418	53.89	51.43	4.78
	1.2 kg.COD/m ³ -day	12,000	6,535	2,245	96.2	2,750	1	2.75	5.47	0.176	0.00488	879	33.39	30.47	9.59
ระยะเวลาที่เก็บ**	4 days	6,000	2,401	1,100	96.2	2,750	1	2.75	3.6	0.086	0.00488	577	21.92	20.22	8.39
	5 days	6,000	1,964	1,433	96.4	2,750	1	2.75	4.04	0.177	0.00488	1,023	36.81	34.86	5.60
	7 days	6,000	1,237	1,535	96.2	2,750	1	2.75	4.76	0.203	0.00488	1,290	49.02	47.71	2.74
	10 days	6,000	342	1,645	96.3	2,750	1	2.75	5.66	0.275	0.00488	1,939	71.74	68.1	5.35
พื้นที่ผิวจำเพาะของตัวกลางกรอง***	100 m ² /m ³	6,000	342	1,645	96.3	2,750	1	2.75	5.66	0.275	0.00488	1,939	71.74	68.1	5.35
	358 m ² /m ³	6,000	4,420	1,700	96.2	2,450	3.58	2.45	0.44	0.918	0.00492	483	18.35	18.32	0.17
	423 m ² /m ³	6,000	5,460	1,837	96.25	2,350	4.23	2.35	0.14	2.339	0.00494	361	13.53	12.54	7.91

หมายเหตุ

a = พื้นที่ผิวจำเพาะของตัวกลาง

b_s = อัตราการผุพังของชีวมวล

J = พลังค์สารอาหารของจุลินทรีย์

L_r = ความหนาฟิล์มชีวะ

S_i = ความเข้มข้นสารอินทรีย์ (COD) ทางเข้า

S_e = ความเข้มข้นสารอินทรีย์ (COD) ทางออก

X_r = ความหนาแน่นของจุลินทรีย์

V = ปริมาตรถังปฏิกรณ์

Y_t = สัมประสิทธิ์การผลิตได้ของชีวมวล

* ที่ระยะเวลาที่เก็บ 10 วัน และพื้นที่ผิวจำเพาะของตัวกลางกรอง 100 m²/m³

** ที่อัตราการบำบัดทุกสารอินทรีย์ และพื้นที่ผิวจำเพาะของตัวกลางกรอง 100 m²/m³

*** ที่อัตราการบำบัดทุกสารอินทรีย์ 0.6 กก.ซีไอดี/ลบ.ม.-วัน และระยะเวลาที่เก็บ 10 วัน

ตารางที่ 3.10 และ 3.11 การคำนวณความหนาฟิล์มซีวะที่คำนวณได้กับความหนาของฟิล์มซีวะที่วัดจากเครื่อง SEM พบว่ามีความแตกต่างน้อยกว่า 10 % ดังนั้นรูปแบบแบบจำลองซีวะจึงเหมาะสมใกล้เคียงกับความเป็นจริงในช่วงอัตราภาระบรรทุกสารอินทรีย์ 0.3-1.2 กก.ซีโอดี/ลบ.ม.-วัน ที่ระยะเวลาพักเก็บ 4 – 10 วัน

ตารางที่ 3.11 ผลความหนาฟิล์มซีวะที่คำนวณได้กับความหนาของฟิล์มซีวะที่วัดจากเครื่อง SEM

พารามิเตอร์	ความหนาฟิล์มซีวะที่ได้จากการคำนวณ (ไมครอน)	ความหนาของฟิล์มซีวะที่ได้จากเครื่อง SEM (ไมครอน)	ความผิดพลาด (เปอร์เซ็นต์)	
อัตราภาระบรรทุกสารอินทรีย์*	0.3 กก.ซีโอดี/ลบ.ม.-วัน	73.01	67.14	8.58
	0.6 กก.ซีโอดี/ลบ.ม.-วัน	71.74	68.10	5.20
	0.9 กก.ซีโอดี/ลบ.ม.-วัน	53.89	51.43	4.63
	1.2 กก.ซีโอดี/ลบ.ม.-วัน	33.39	30.47	9.43
ระยะเวลาพักเก็บ**	10 วัน	21.92	20.22	8.24
	7 วัน	36.81	34.86	5.45
	5 วัน	49.02	47.71	2.60
	4 วัน	71.74	68.10	5.20
พื้นที่ผิวจำเพาะของตัวกลางกรอง***	100 ม ² /ม ³	71.74	68.10	5.20
	358 ม ² /ม ³	18.35	18.32	0.13
	423 ม ² /ม ³	13.53	12.54	8.00

หมายเหตุ

- * ที่ระยะเวลาพักเก็บ 10 วัน และพื้นที่ผิวจำเพาะของตัวกลางกรอง 100 ม²/ม³
- ** ที่อัตราภาระบรรทุกสารอินทรีย์ และพื้นที่ผิวจำเพาะของตัวกลางกรอง 100 ม²/ม³
- *** ที่อัตราภาระบรรทุกสารอินทรีย์ 0.6 กก.ซีโอดี/ลบ.ม.-วัน และระยะเวลาพักเก็บ 10 วัน